

На основании экспериментов получены значения  $\Psi$  для первого  $\Psi_{1-1}$  и последующих рядов. Значения  $\Psi_{1-3}$  во всем интервале измерений были меньше 0,07—0,05, что удовлетворительно согласуется с результатами наших наблюдений по оценке  $\alpha_{\text{экспер}}$  для третьего ряда, где максимальные значения  $\alpha_{\text{изл}} / \alpha_{\text{конв}} \leq 0,05 - 0,03$ .

На рис. 2 показаны значения  $\Psi_{1-1}$  и  $\Psi_{1-2}$  в зависимости от поперечного шага  $s_1$  и расстоянии  $h$ .

Полученные результаты были учтены при расчете  $\alpha_g^{\text{изл}} = \alpha_g^{\text{изл}} + \alpha_g^{\text{конв}}$  и коэффициента теплоотдачи  $k_{\text{кл}}$  для рекуператоров из литых ребристых элементов. В качестве примера на рис. 3 показана номограмма для определения  $k_{\text{кл}}$  от скорости дыма  $v$  при нормальных условиях и температуры дымовых газов  $T$  ( $ad=45$  см;  $h=22,5$  см).

Как видно из номограммы, получается удовлетворительное совпадение расчетных кривых с экспериментом.

А.П. Несенчук, А.А. Шкляр  
В.А. Каган, А.М. Ривкин

## НАГРЕВ ШТАНГ В КАМЕРНЫХ ПЕЧАХ ГОРИЗОНТАЛЬНО-КОВОЧНЫХ МАШИН

Оптимальное распределение температуры в заготовке имеет исключительное значение при нагреве, так как от распределения температуры зависит время нагрева и величина окисления и обезуглероживания поверхности садки. В свою очередь, и то и другое в значительной мере определяют качество и себестоимость продукции.

Рассмотрим температурные поля при нагреве штанг из стали ШХ-15 в моменты времени 0,4; 0,5 и 0,6 ч, когда процессы окисления и обезуглероживания наиболее вероятны. Нагрев выполняется в камерной печи горизонтально-ковочной машины (ПКМ) и предшествует горячей ковке колец крупногабаритных подшипников.

Решение задачи о распределении температуры в садке выполнено на электронно-вычислительной машине "Минск-32". Программа и машинный алгоритм были разработаны применительно к транслятору "ФОРТРАН".

Нагрев штанги характеризуется условиями

$$\frac{R}{H} < 0,1, \quad Bi \geq Bi_{кр},$$

где  $R$ ,  $H$  — соответственно радиус и длина штанги.

Начальные и граничные условия могут быть сформулированы так:

$$\left. \begin{aligned} t(r, 0) &= f(r), \\ -\frac{\partial t(R, \tau)}{\partial r} + \alpha [t_c - t(R, \tau)] &= 0, \\ \frac{\partial t(0, \tau)}{\partial r} &= 0; t(0, \tau) \neq \infty. \end{aligned} \right\} \quad (1)$$

Решение уравнения теплопроводности в соответствии с (1) имеет вид [1]

$$\frac{t(r, \tau) - t_c}{t_c - t_0} = 1 - \sum_{n=1}^{\infty} A_n I_0\left(\mu_n \frac{r}{R}\right) \exp(-\mu_n^2 Fo), \quad (2)$$

где

$$A_n = \frac{2I_1(\mu_n)}{\mu_n [I_0^2(\mu_n) + I_1^2(\mu_n)]}.$$

Здесь  $\mu_n$  — корни уравнения  $\frac{I_0(\mu)}{I_1(\mu)} = \frac{\mu}{Bi}$ ;  $Fo, Bi$  — соответственно критерии Фурье и Био,  $Fo = \frac{\alpha \tau}{\lambda^2}$ ;  $Bi = \frac{\alpha X}{\lambda}$ .

Как известно, решение (2) получено при условии, что термодинамические характеристики в процессе нагрева неизменны. В интервале температур нагрева для стали ШХ-15 можно принять:  $\alpha = 0,02 \text{ м}^2/\text{ч}$ ,  $\lambda = 36 \text{ ккал/м.ч.}^\circ\text{С}$ .

Полагая, что садка плотная, величина интенсивности теплообмена между печными газами и ее поверхностью находится так:

$$\alpha = \frac{C_o \varepsilon_r \varepsilon_m \frac{\frac{1}{\omega_i} (1 - 0,25) + 1}{\frac{1}{\omega_i} (1 - \varepsilon_r) [\varepsilon_m + \varepsilon_r (1 - \varepsilon_m)] + \varepsilon_r} \left[ \left( \frac{T_c}{100} \right)^4 - \left( \frac{T(R, \tau)}{100} \right)^4 \right]}{t_c - t(R, \tau)}. \quad (3)$$

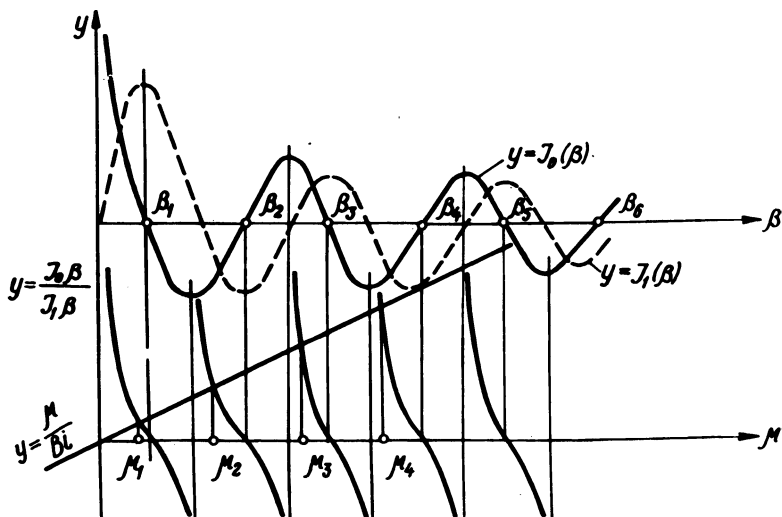


Рис. 1. График для отыскания корней характеристического уравнения для цилиндра.

Значения  $T(R, \tau)$  и  $t(R, \tau)$  в (3) следует подставлять средние за цикл нагрева.

Применительно к камерной печи ГKM (ГПЗ-11) можно записать, что  $\alpha = 200$  ккал/м<sup>2</sup>·ч·°C.

Нагреву подвергаются штанги диаметром 80--120 мм при температуре газов в печи 1150--1190°C. Формулируем условия, при которых совершается нагрев:  $a = 0,02$  м<sup>2</sup>·ч,  $\lambda = 36$  ккал/м·ч·°C,  $\alpha = 200$  ккал/м<sup>2</sup>·ч·°C,  $t_0 = 20$ °C,  $t_c = 1150-1190$ °C (с шагом 10°С),  $X = 0,04-0,06$  м (с шагом 0,01),  $\frac{r}{R} = 0,2-0,6$  (с шагом 0,2) и  $\tau = 0,4-0,6$  часа (с шагом 0,1).

Решение будем выполнять по формуле (2). Для этого разработан алгоритм, состоящий из алгоритма нахождения корней  $\mu_n$  и поиска  $\mu_n$ .

Каждый корень  $\mu_n$  ищем на отрезке  $[\beta_{n-1}; \beta_n]$  (рис. 1), где  $\beta_n$  — корни функции  $I_0(\beta)$ . При этом полагаем  $\beta_0 = 1$ .

Алгоритм поиска  $\mu_n$  заключается в следующем:

а) от очередного значения  $\beta_{n-1}$  с некоторым положительным шагом вычитаем значения  $I_0(\beta_{n-1, j})$  до тех пор, пока  $I_0$  не примет значение противоположного знака. Полагаем, что

$\beta_{n-1,j} = \beta_n$ ; б) от значения  $\beta_n$  с некоторым отрицательным шагом вычитаем значения  $\frac{I_0(\beta_{n,k})}{I_1(\beta_{n,k})}$  и  $\frac{\beta}{Bi}$  до тех пор, пока не выполнится неравенство

$$\frac{\beta}{Bi} \leq \frac{I_0(\beta_{n,k})}{I_1(\beta_{n,k})}.$$

Значение  $\beta_{n,k}$  в этой точке и есть  $\mu_n$ , определенное с некоторой точностью. Точность  $\mu_n$  обеспечивается наперед заданной точностью  $z$  и дроблением отрицательного шага при точке  $\mu_n$  на отрезке  $[\beta_{n-1}, \beta_n]$  до тех пор, пока не выполнится условие

$$\left| \frac{\beta}{Bi} - \frac{I_0(\beta_{n,k})}{I_1(\beta_{n,k})} \right| \leq z.$$

После нахождения очередного значения  $\mu_n$  подставляем его в выражение

$$\Delta_n I_0\left(\mu_n \frac{r}{R}\right) \exp(-\mu_n^2 Fo),$$

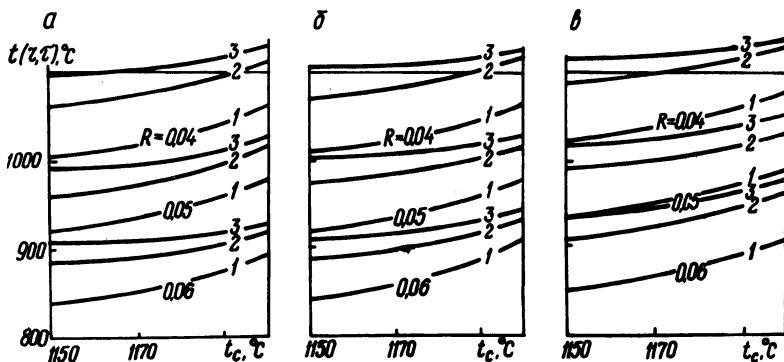


Рис. 2. Графики, устанавливающие зависимость  $t(r, \tau) = f(t_c)$ :

1--3--соответственно для моментов времени 0,4; 0,5; 0,6 ч ( а --  $\frac{r}{R} = 0,2$ ; б -- 0,4; в -- 0,6).

являющееся членом ряда. Если при  $\mu_n$  член ряда по модулю оказывается меньше некоторой наперед заданной точности, суммирование ряда прекращаем, подсчитываем значение  $T(r, \tau)$  и осуществляем переход к следующему набору аргументов  $t_c, X, \frac{r}{R}, \tau$ .

После исчерпания всех значений аргументов решение считается законченным. На печать в каждой строчке выдаются значения аргументов и  $t(r, \tau)$ . Распечатка результатов решения представлена в виде графиков  $t(r, \tau) = f(t_c)$  на рис. 2.

### Л и т е р а т у р а

1. Лыков А.В. Теория теплопроводности. М., 1967.

В.И. Емельяничков, Е.И. Олейник

### ОБ ОДНОМ СПОСОБЕ ИЗМЕРЕНИЯ ЛОКАЛЬНОГО КОЭФФИЦИЕНТА ТЕПЛОТДАЧИ КОНВЕКЦИЕЙ ПРИ НЕСТАЦИОНАРНОМ ТЕПЛОВОМ РЕЖИМЕ

При автоматизации процессов пуска и останова теплоэнергетического оборудования возникает необходимость в поддержании оптимальными значений термических напряжений в металле отдельных элементов, лимитирующих скорость пуска и останова. Это требует измерения локальных коэффициентов теплоотдачи между поверхностью элементов оборудования и омывающей средой, температура, плотность и скорость которой меняются в широком диапазоне.

Известные способы определения коэффициента теплоотдачи конвекцией при нестационарном тепловом потоке как для регулярного, так и для иррегулярного режимов [1, 2] обладают рядом недостатков: они применимы в условиях постоянных значений коэффициента теплоотдачи и параметров среды; для их осуществления требуется значительное время; не позволяют достаточно просто получить измерительный сигнал, пропорциональный коэффициенту теплоотдачи, а также ввести его в систему автоматического управления.